

2. Démonstration dans le cas G affine et N distingué (6)

Nous allons démontrer une version un peu affaiblie :

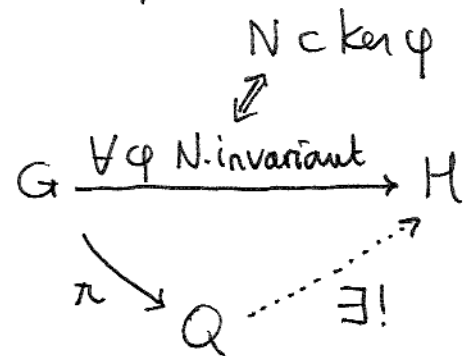
th Soit G un k -gr. alg affine et $N \triangleleft G$ distingué.

Il existe un k -gr alg affine $Q (= G/N)$ et un morphisme de gr. alg. $\pi: G \rightarrow Q$ tel que :

(1) π est fidèlement plat

(2) $\ker(\pi) = N$

(3) π vérifie la propriété universelle :



Démonstration

Etape 1 : on trouve une représentation $G \rightarrow GL(V)$ de noyau N .

D'après le th de Chevalley (exposé d'Alice et Matilde),

il existe une représentation $G \rightarrow GL(W)$ telle que N est le stabilisateur d'une droite $L \subset W$.

Supposons que N agit trivialement sur L . (*)

lm la représentation des N -pts fixes $V = W^N$ est une sous-représentation bien définie \square

Comme N est normal dans G , V est bien G -stable.

* Ce corollaire dit que le plongement de Yoneda

$h: (\text{Sch}/S) \rightarrow \text{Funct}((\text{Sch}/S)^\circ, \text{Ens}), X \mapsto \text{son foncteur de points},$

se factorise par la catégorie $\tilde{\mathcal{F}}_{\text{fppf}}$ des faisceaux fppf/S .

C'est une contrainte forte sur un foncteur

$F: (\text{Sch}/S)^\circ \rightarrow \text{Ens}$
ou Grop pour être représentable.

Je dis que le noyau $K = \ker(G \rightarrow GL(V))$ égale N . (7)

- En effet :
- $N \subset K$ par déf de $V = W^N$
 - $K \subset N$ car si $g \in G$ agit trivialement sur V^N , du fait que $L \subset V^N$ (hypothèse $(*)$) on tire que g stabilise L donc $g \in \text{Stab}(L) = N$

Si N n'agit pas trivialement sur L , on peut se ramener à ce cas en remplaçant V par $V \otimes L^d$ pour un certain $d \in \mathbb{Z}$ (admis)

Etape 2 On construit $\pi: G \rightarrow \mathcal{Q}$. Pour cela on utilise un th. de factorisation épi-mono:

Th Soit $G \rightarrow H$ un morphisme de k -gr. alg. affines, alors il se factorise en $G \rightarrow \mathcal{Q} \hookrightarrow H$ avec

\mathcal{Q} : k -gr alg affine, $G \rightarrow \mathcal{Q}$ fidèlement plat, $\mathcal{Q} \hookrightarrow H$ immersion fermée

On repousse la dém de ce théorème à la fin.

En l'appliquant à $G \rightarrow GL(V) = H$ de l'étape 1 on trouve $G \rightarrow \mathcal{Q} \hookrightarrow H$ dont le noyau est N (puisque $\mathcal{Q} \hookrightarrow H$ mono).

Etape 3: On démontre maintenant la propriété universelle.

On pose $\mathcal{Q} = \text{spec } R$, $G = \text{spec } R'$. On a un iso:

$$N \times G \begin{array}{c} \xrightarrow{(n_1, g)} \\ \xleftarrow{(g_2, g_1^{-1})} \end{array} G \times_{\mathcal{Q}} G = \text{spec} \left(R' \otimes_R R' \right)$$

$(g_2, g_1^{-1}) \leftarrow (g_1, g_2)$

Si un morphisme $\varphi: G \rightarrow H$ est N -invariant, (8)

on a $\text{Spec}(R' \otimes_R R') \rightrightarrows \text{Spec}(R') \rightarrow \text{Spec}(R)$

$$\begin{array}{ccccc}
 & & & & \\
 & & & & \\
 & & & & \\
 N \times G = G \times_Q G & \rightrightarrows & G & \longrightarrow & Q \\
 & & & \searrow & \vdots \exists! \\
 & & & & H
 \end{array}$$

d'où l'existence de $Q \rightarrow H$ par le fait que H est un faisceau fppf, voir le Cor. en page (5) \square

Il reste à démontrer le th de factorisation de l'étape 2.

Notons $G = \text{Spec } B$, $H = \text{Spec } A$, alors cette factorisation n'est autre que celle induite par

$$A \longrightarrow A/I \hookrightarrow B$$

où $I = \ker(A \rightarrow B)$ est un idéale de Hopf

$$\left\{ \begin{array}{ll} \varepsilon(I) = 0 & \varepsilon: \text{counité} \\ S(I) \subset I & S: \text{antipode} \\ \Delta(I) \subset I \otimes A + A \otimes I & \Delta: \text{comultiplication} \end{array} \right.$$

ce qui garantit que A/I est une k -alg de Hopf.

On pose $Q = \text{Spec}(A/I)$ et il reste à montrer que $G \rightarrow Q$ est fidèlement plat. Ceci sera conséquence de platitude générique et homogénéité.

Pour simplifier nous le démontrons sous l'hypothèse que G est lisse et connexe, donc $B \otimes_k \bar{k}$ intègre.

Pour montrer $G \rightarrow Q$ fidèlement plat il suffit

de montrer $G_{\bar{k}} \rightarrow Q_{\bar{k}}$ fidèlement plat, donc $\text{OPS } k$ algébriquement clos. (9)

Lm élémentaire si Q est un k -gr. alg. irréductible, avec $k = \bar{k}$, alors tout ouvert non vide $W \subset Q$ engendre Q [en fait ~~W.W = Q~~ $W.W = Q$]

Dém: soit $x \in Q$, alors xW^{-1} ouvert non vide donc rencontre W (dans Q irréductible, tout ouvert non vide est dense!)

Soit $w \in xW \cap W$, $w = x(w')$ donc $x = ww'$ \square

Les théorèmes nécessaires de géométrie algébrique (en fait plutôt d'algèbre commutative) sont :

Constructibilité de l'image (Chevalley) un morphisme $X \xrightarrow{f} Y$ de k -schémas affines de type fini qui est dominant (ie. $\mathcal{O}_Y \rightarrow \mathcal{O}_X$ injectif) a une image $f(X)$ qui contient un ouvert $V \subset Y$.

Platitude générique (Grothendieck) si de plus Y est réduit alors il existe un (sous-)ouvert W (de V) tel que $f|_{f^{-1}(W)}: f^{-1}(W) \rightarrow W$ est plat.

Appliquant ces résultats à $G \rightarrow Q$, on voit qu'il est plat au-dessus d'un ouvert $W \subset Q$. Par homogénéité, c'est-à-dire par le lemme élémentaire ci-dessus, $G \rightarrow Q$ est plat au-dessus de tout point de Q donc plat partout \square

3. Exemple: PGL_2 et PSL_2

Soit V un k -espace vectoriel de dimension finie n .

Lm 1) Le centre du k -groupe algébrique $GL(V)$ est le sous-groupe des homothéties, $Z \cong G_m$

2) Le centre de $SL(V)$ est $SL(V) \cap Z(GL(V)) \cong \mu_n$, le sous-groupe des homothéties.

Dém choisir une base de V puis, pour toute k -algèbre R , faire un calcul matriciel explicite dans $GL_n(R)$ ou $SL_n(R)$ \square

Cor L'inclusion $SL(V) \hookrightarrow GL(V)$ induit un isomorphisme $PSL(V) \xrightarrow{\sim} PGL(V)$ entre les quotients centraux.

Dém montrer que cette flèche est un mono et un épi \square

Pour réaliser PGL et PSL comme des groupes affines, la stratégie de Chevalley est de trouver une représentation dans laquelle le centre agit trivialement. On en connaît une: la rep. dans $\text{End}(V)$:

$$g \cdot f = g f g^{-1} \quad \text{pour } f \in \text{End}(V), g \in GL(V).$$

Pour rendre ceci concret regardons le cas $n=2$, et $V = k^2$.

La représentation $\text{End}(V) = \text{Mat}_2(k)$ a pour base $\{E_{11}, E_{12}, E_{21}, E_{22}\}$.

Soit $M = \begin{pmatrix} a & b \\ c & d \end{pmatrix}$ un point de GL_2 . On a $M^{-1} = \frac{1}{\delta} \begin{pmatrix} d & -b \\ -c & a \end{pmatrix}$ et
(où $\delta = ad - bc$)

$$M E_{11} M^{-1} = \frac{1}{\delta} \begin{pmatrix} ad & -ab \\ cd & -bc \end{pmatrix}$$

$$M E_{12} M^{-1} = \frac{1}{\delta} \begin{pmatrix} -ac & a^2 \\ -c^2 & ac \end{pmatrix}$$

$$M E_{21} M^{-1} = \frac{1}{\delta} \begin{pmatrix} bd & -b^2 \\ d^2 & -bd \end{pmatrix}$$

$$M E_{22} M^{-1} = \frac{1}{\delta} \begin{pmatrix} -bc & ab \\ -cd & ad \end{pmatrix}$$

On déduit que la rep. est $GL_2 \rightarrow GL_4$,

$$\begin{pmatrix} a & b \\ c & d \end{pmatrix} \mapsto \frac{1}{\delta} \begin{pmatrix} ad & -ac & bd & -bc \\ -ab & a^2 & -b^2 & ab \\ cd & -c^2 & d^2 & -cd \\ -bc & ac & -bd & ad \end{pmatrix}$$

Les relations quadratiques « évidentes » entre les coefs de la matrice image vont fournir des générateurs de l'idéal qui définit l'image PGL_2 comme sous-groupe fermé de GL_4 .

On observe que les coord. situées dans la zone encadrée orange sont des copies de certaines autres coord : $E_{24} = -E_{21}$, $E_{34} = -E_{31}$, etc.

On se concentre donc sur les autres coord :

$$\begin{pmatrix} A & B & C & D \\ E & F & G & \\ H & I & J & \end{pmatrix}$$

on trouve les relations :

$$\begin{cases} AB = -FH \\ AC = EJ \\ AD = EH = BC \\ AE = -CF \\ AG = CE \\ AH = -BJ \\ AI = BH \end{cases} \quad \begin{cases} BD = EI \\ BE = -DF \\ BG = DE \\ CD = GH \\ CH = DJ \\ CI = DH \end{cases} \quad \begin{cases} FG = -E^2 \\ GI = D^2 \\ GJ = C^2 \\ IJ = H^2 \end{cases} \quad \begin{array}{l} + 6 \text{ relations} \\ \text{orange} \\ \Rightarrow 24 \text{ relations.} \end{array}$$

Montrons maintenant que $SL_2(\mathbb{Q}) \rightarrow PSL_2(\mathbb{Q})$ n'est pas surjectif.

Si on voit PSL_2 comme un quotient on est amené à raisonner comme suit. Considérons un entier d sans facteur carré,

et la matrice $M = \begin{pmatrix} \sqrt{d} & 0 \\ 0 & 1/\sqrt{d} \end{pmatrix} \in SL_2(\mathbb{Q}(\sqrt{d}))$.

C'est un $\mathbb{Q}(\sqrt{d})$ -point : $\text{spec } \mathbb{Q}(\sqrt{d}) \rightarrow SL_2$.

Or $\mathbb{Q}(\sqrt{d})$ est ext. galoisienne de \mathbb{Q} de degré 2, c'est-à-dire

que $\mathbb{Q}(\sqrt{d})^\Gamma = \mathbb{Q}$ (sous-corps des invariants sous $\Gamma = \text{Gal}(\mathbb{Q}(\sqrt{d})/\mathbb{Q}) \cong \mathbb{Z}/2\mathbb{Z}$).

Ceci exprime qu'on a un quotient :

$$\text{Spec}(\mathbb{Q}(\sqrt{d})/\mathfrak{p}) \simeq \text{Spec } \mathbb{Q}.$$

Or la matrice M a pour conjuguée sous l'élément $\sigma \neq 1$, $\sigma \in \Gamma$ la matrice $M^\sigma = \begin{pmatrix} -\sqrt{d} & 0 \\ 0 & -1/\sqrt{d} \end{pmatrix} = -M$ donc son image dans PSL_2 est égale à celle de M . En d'autres termes le morphisme

$\text{Spec } \mathbb{Q}(\sqrt{d}) \rightarrow \text{SL}_2 \rightarrow \text{PSL}_2$ est Γ -invariant et induit

donc un \mathbb{Q} -point :

$$\begin{array}{ccc} \text{SL}_2 & \xrightarrow{\pi} & \text{PSL}_2 \\ M \uparrow & & \uparrow \bar{M} \\ \text{Spec } \mathbb{Q}(\sqrt{d}) & \rightarrow & \text{Spec } \mathbb{Q}(\sqrt{d})/\mathfrak{p} = \text{Spec } \mathbb{Q} \end{array}$$

Le \mathbb{Q} -point ne se relève pas en un \mathbb{Q} -point de SL_2 , car les seuls relevés, les éléments de $\pi^{-1}(\bar{M})$, sont M et $M^\sigma = -M$ qui ne sont pas \mathbb{Q} -rationnels.

Si on voit PSL_2 comme un sous-groupe de GL_4 on est amené

à regarder directement l'image de $M = \begin{pmatrix} \sqrt{d} & 0 \\ 0 & 1/\sqrt{d} \end{pmatrix}$ par l'application $\text{GL}_2 \rightarrow \text{GL}_4$ décrite ci-dessus, on trouve la matrice image $\begin{pmatrix} 1 & & & \\ & d & & \\ & & d & \\ & & & 1 \end{pmatrix}$ qui est bien \mathbb{Q} -rationnelle.

Mais en général cette méthode n'est pas vraiment accessible, lorsqu'on manipule un groupe quotient G/N pour lequel une représentation suffisamment explicite pour plonger $G/N \hookrightarrow \text{GL}(V)$ n'est pas accessible (comme c'est souvent le cas).